



**UNIVERSITÀ DEGLI STUDI DI PADOVA**

---

DIPARTIMENTO DI INGEGNERIA DELL'INFORMAZIONE

*Corso di Laurea in Ingegneria dell'Informazione*

**MISURE DI CONFIDENZA PER ALGORITMI DI  
STEREO VISION**

*Laureando*

**Nicola Dal Lago**

*Relatore*

**Prof. Pietro Zanuttigh**

*Correlatore*

**Giulio Marin**



# Abstract

Lo scopo di questa tesi è il confronto di varie tecniche di stima della confidenza a partire dai dati acquisiti da una coppia di videocamere. Vengono quindi utilizzate diverse metriche, valutate sia singolarmente che combinate opportunamente. Si confrontano poi i risultati con le mappe di disparità (*ground truth*) disponibili nei dataset di riferimento. Per il calcolo delle disparità è stato usato l'algoritmo *Semi-global matching* (*SGM*) opportunamente modificato.



# Indice

<b>Abstract</b>	<b>ii</b>
<b>1 Introduzione</b>	<b>2</b>
1.1 Stereopsi . . . . .	2
1.2 Calcolo delle corrispondenze . . . . .	3
<b>2 Misure di confidenza</b>	<b>6</b>
2.1 Proprietà locali della curva . . . . .	7
2.2 Minimo locale della curva . . . . .	8
2.3 Intera curva . . . . .	8
2.4 Consistenza fra disparità di destra e sinistra . . . . .	9
<b>3 Risultati</b>	<b>12</b>
3.1 Variazione parametri . . . . .	13
3.2 Confronto delle misure . . . . .	16
<b>4 Combinazione di misure</b>	<b>20</b>
4.1 Risultati . . . . .	20
<b>Appendici</b>	<b>21</b>
<b>A Codice MATLAB utilizzato</b>	<b>22</b>
A.1 compute_confidence.m . . . . .	22
A.2 left_right_confidence.m . . . . .	25
A.3 result.m . . . . .	27
<b>Bibliografia</b>	<b>32</b>



# Capitolo 1

## Introduzione

La visione stereo è un'area attiva della ricerca da decenni. Negli ultimi anni, gli algoritmi di stereo vision sono maturati a tal punto da essere applicati in un vasto scenario, dall'automazione industriale, al gaming fino alla guida assistita [2].

### 1.1 Stereopsi

*La stereopsi è la capacità percettiva che consente di unire le immagini provenienti dai due occhi, che a causa del loro diverso posizionamento strutturale, presentano uno spostamento laterale. Questa disparità viene sfruttata dal cervello per trarre informazioni sulla profondità e sulla posizione spaziale dell'oggetto mirato. Di conseguenza la stereopsi permette di generare la visione tridimensionale.* \*

Si possono quindi identificare i due problemi principali: calcolo delle corrispondenze e triangolazione [1].

Il primo consiste nell'accoppiare punti delle due immagini, detti punti coniugati, che sono proiezione dello stesso punto della scena nelle due viste. Il calcolo delle corrispondenze è un problema ben definito in quanto le due immagini differiscono di poco, un punto della scena deve apparire simile nei punti coniugati delle due immagini. Per semplificare il problema e ridurre il numero di errori le due immagini vengono rettificata prima del calcolo delle corrispondenze, in modo che due punti coniugati si trovino sulla stessa retta (detta retta epipolare). Questo si ottiene ruotando le immagini originali attorno ai loro centri ottici finché i piani focali non diventano co-planari (e quindi anche i piani immagine).

Per triangolazione si intende il calcolo della distanza tra un punto della scena e il piano formato dalle due fotocamere. Nel caso di due fotocamere parallele ed allineate ci si può facilmente ricondurre alla figura 1.1.

Fissato come riferimento la fotocamera di sinistra si possono scrivere le equazioni di proiezione prospettica:

---

\*<https://it.wikipedia.org/wiki/Stereopsi>

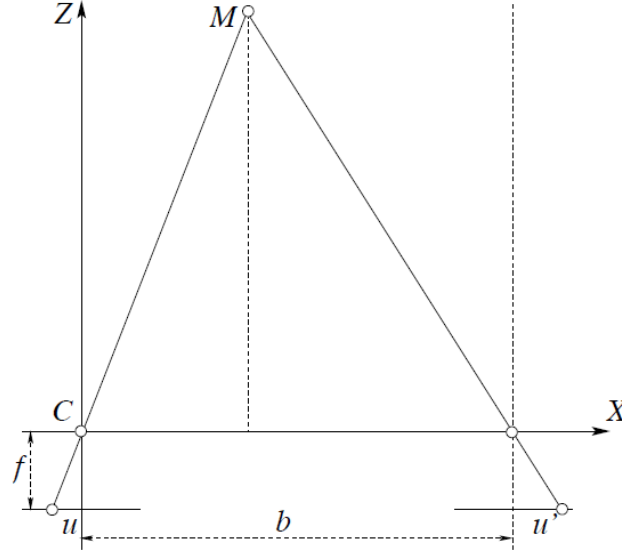


Figura 1.1: Triangolazione stereoscopica.

$$\begin{cases} \frac{f}{z} = \frac{-u}{x} \\ \frac{f}{z} = \frac{-u'}{x - b} \end{cases} \quad (1.1)$$

e risolvendo si ottiene:

$$z = \frac{bf}{u' - u} \quad (1.2)$$

dove  $b$  è la distanza tra i due centri ottici (*baseline*),  $f$  la focale delle fotocamere e  $u' - u$  la disparità.

## 1.2 Calcolo delle corrispondenze

Il calcolo delle corrispondenze o della disparità è il problema principale della stereo vision. La disparità è la differenza tra due punti coniugati (vettore), immaginando di sovrapporre le due immagini. Il calcolo delle corrispondenze non è altro che il calcolo della disparità per ogni pixel delle due immagini [1]. Si ottiene quindi una mappa di disparità del tipo di figura 1.2c. La mappa di disparità non è altro che una matrice di scalari: in ogni cella viene memorizzato la distanza che separa il corrispondente punto dell'immagine di riferimento dal suo punto coniugato.

Esistono molti algoritmi diversi per il calcolo delle disparità. I metodi *locali* utilizzano per la ricerca del punto coniugato, un piccolo numero di pixel attorno al pixel





Figura 1.2: Mappa di disparità con immagine di destra come riferimento, immagine presa da <http://vision.middlebury.edu/stereo/data/>.

considerato, approcci tipici di questo tipo sono *correlazione*, *SSD*, *SAD*, *trasformata census*, eccetera [3]. I metodi *globali*, invece, sfruttano vincoli non locali per ridurre la sensibilità a regioni per le quali l'accoppiamento fallisce. Ne risulta un problema di ottimizzazione e richiedono un costo computazionale sicuramente maggiore rispetto ai metodi locali. In questa tesi si utilizza invece un metodo di tipo *semi globale*, che non è altro che una via di mezzo tra i locali e globali; questo considera un pixel e i suoi vicini per approssimare la soluzione globale. Viene utilizzato questo tipo di algoritmo sia per ridurre il costo computazionale rispetto ai globali, sia per avere migliore precisione rispetto ai locali [4]. La disparità però non è una funzione esatta, in quanto può essere soggetta da rumore (errata illuminazione, mancanza di trama, occlusioni, eccetera) provocando errori nell'algoritmo. Viene quindi generata una funzione detta “funzione costo”, la quale ha per ascissa tutti i possibili valori di disparità, e per ordinata il valore di costo, che indica quanto quella disparità sia attendibile.



## Capitolo 2

### Misure di confidenza

Come accennato nella sezione 1.2, ad ogni pixel dell'immagine di riferimento (destra o sinistra), viene assegnata una funzione costo, la quale identifica quanto una determinata disparità sia esatta per quel pixel.

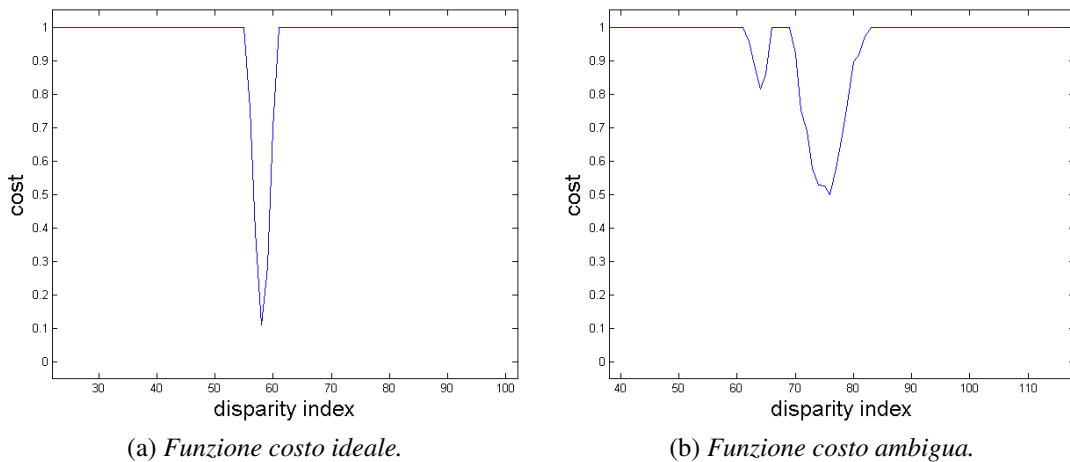


Figura 2.1: Due possibili funzioni costo.

Due possibili funzioni costo sono riportate in figura 2.1. E' chiaro che nel primo caso la disparità è individuata da quell'unico picco; nel secondo caso invece, la funzione è ambigua, in quanto vi sono diversi picchi, e non è quindi più così immediato trovare l'esatta disparità. Si rende quindi necessario lo studio di varie tecniche per misurare la confidenza con la quale viene assegnato un determinato valore. Per il calcolo della funzione costo di ciascun pixel, è stato usato un algoritmo di tipo *semi-global matching*, presente nelle librerie open source di visione computazionale *OpenCV* [9]. Questo algoritmo, scritto nel linguaggio C++, di per se produrrebbe in output solo la mappa di disparità. L'algoritmo è stato quindi opportunamente modificato per poter estrarre la funzione costo di ciascun punto. Si ha quindi in output anche una matrice, delle stesse dimensioni dell'immagine originale, ma che ha per ciascuna cel-

la la funzione costo. Successivamente la matrice viene convertita in formato *.mat*, per rendere il tutto più facile da utilizzare con il linguaggio di programmazione *MATLAB*. Poi, con script *MATLAB*, vengono calcolate le confidenze con diverse metriche. Le immagini utilizzate sono state prese dal dataset *Middlebury* [7, 8] disponibili su <http://vision.middlebury.edu/stereo/data/>.

Prima di proseguire però, si rende necessario dare alcune definizioni:

- $c(d)$ : il valore del costo assegnato ad una ipotetica mappa di disparità  $d$ , per un pixel di coordinate  $(x, y)$ , è denotato con  $c(x, y, d)$  o  $c(d)$ , se le coordinate del pixel non sono ambigue;
- $c_1$ : il minimo valore del costo di un pixel è definito con  $c_1$  e il corrispondente valore di disparità  $d_1$ ;  $c_1 = c(d_1) = \min\{c(d)\}$ ;
- $c_2$ : con  $c_2$  viene denotato il secondo valore più piccolo in  $d_2$ , mentre con  $c_{2m}$  si denota il secondo minimo locale più piccolo. Nel calcolo del secondo minimo, bisogna anche tener conto di quei casi dove vi sono due minimi molto vicini e con valori molto simili; in questo caso si escludono minimi che non sono ad una certa distanza dal minimo principale.

Seguono quindi tutte le varie tecniche utilizzate, raggruppate secondo l'aspetto del costo che considerano [6].

## 2.1 Proprietà locali della curva

In questo genere di metriche, si sfrutta il fatto che la forma della curva di costo intorno al minimo (la nitidezza o la planarità) è indice di certezza nel confronto.

**Curvature (CUR)** E' largamente utilizzata nella letteratura [6], ed è definita come

$$C_{CUR} = \frac{-2c(d_1) + c(d_1 - 1) + c(d_1 + 1)}{2} \quad (2.1)$$

se  $d_1 - 1$  o  $d_1 + 1$  sono fuori dal range di disparità, il punto minimo  $c(d_1)$  viene usato due volte. Il tutto viene diviso per 2 per garantire valori compresi tra zero e uno.

**Local Curve (LC)** Molto simile alla misura *CUR*, la *Local Curve* è descritta da

$$C_{LC} = \frac{\max\{c(d_1 - 1), c(d_1 + 1)\} - c_1}{\gamma} \quad (2.2)$$

il parametro  $\gamma$  verrà poi scelto tale da garantire una distribuzione del costo più uniforme possibile tra zero e uno.

## 2.2 Minimo locale della curva

Si basa sul concetto che la presenza di altri candidati è un'indicazione di incertezza, mentre la loro assenza di certezza.

**Peak Ratio Naive (PKRN)** A differenza del *Peak Ratio (PKR)*, che calcola il costo con la formula 2.3

$$C_{PKR} = \frac{c_{2m}}{c_1} \quad (2.3)$$

il *PKRN* non richiede che il numeratore sia un minimo locale. Inoltre la formula è leggermente diversa da quella proposta in letteratura [2]

$$C_{PKRN} = \frac{c_2 + \epsilon}{c_1 + \epsilon} - 1 \quad (2.4)$$

*PKRN* può essere visto come una combinazione del *PKR* e *CUR*, che assegna bassa confidenza per le corrispondenze con minimi piatti o concorrenti forti. Anche se le modifiche al *PKRN* violano leggermente la metrica originale, ha i seguenti vantaggi rispetto alla controparte originale:

- le rare singolarità in cui il denominatore sia nullo non sono più presenti;
- piccole variazioni nei costi dovuti al rumore ai livelli bassi del costo, non hanno un forte impatto nella metrica;
- potendo scegliere il valore di  $\epsilon$ , il range dei possibili valori può essere adattato, al fine di omogeneizzare la misura tra zero e uno.

**Maximum Margin (MMN)** il margine tra  $c_1$  e  $c_2$  è anch'esso indicazione di confidenza. *MMN* è definito dalla formula

$$C_{MMN} = c_2 - c_1 \quad (2.5)$$

**Nonlinear Margin (NLM)** è definito come

$$C_{NLM} = e^{\frac{c_2 - c_1}{2\sigma_{NLM}^2}} - 1 \quad (2.6)$$

le variazioni del parametro  $\sigma_{NLM}$  verranno poi discusse nella sezione 3.1.

## 2.3 Intera curva

Questi metodi convertono la funzione costo in una distribuzione di probabilità sulla disparità.

**Maximum Likelihood Metric (MLM)** Insieme a *PKRN* è una delle metriche più promettenti. Entrambe hanno ottenuto risultati sopra la media sia su immagini indoor che outdoor [6]. La *Maximum Likelihood Metric* è definita come

$$C_{MLM} = \frac{e^{-\frac{c_1}{2\sigma_{MLM}^2}}}{\sum_d e^{-\frac{c(d)}{2\sigma_{MLM}^2}}} \quad (2.7)$$

In questo caso  $\sigma_{MLM}$  rappresenta l'incertezza della disparità, e anche per questo caso la sua variazione verrà discussa nella sezione 3.1.

**Attainable Maximun Likelihood (AML)** è una variante di *MLM* che modella il costo per un particolare pixel usando una distribuzione Gaussiana centrata nel minimo valore di costo che è stato finora calcolato per quel pixel ( $c_1$  nella nostra notazione).

$$C_{AML} = \frac{e^{-\frac{(c_1 - c_1)^2}{2\sigma_{AML}^2}}}{\sum_d e^{-\frac{(c(d) - c_1)^2}{2\sigma_{AML}^2}}} = \frac{1}{\sum_d e^{-\frac{(c(d) - c_1)^2}{2\sigma_{AML}^2}}} \quad (2.8)$$

**Winner Margin Naive (WMNN)** esiste il *Winner Margin*, che richiede che al numeratore vi sia un minimo locale, ma come per il *PKRN* definiamo la versione naive come

$$C_{WMNN} = \frac{c_2 - c_1}{\sum_d c(d)} \quad (2.9)$$

## 2.4 Consistenza fra disparità di destra e sinistra

Questa tipologia di misure consiste nel fatto che, idealmente, un punto nella mappa di disparità destra dovrebbe essere lo stesso nella mappa di disparità sinistra. Fin ora abbiamo denotato il valore del costo con  $c(x, y, d)$  avendo come riferimento l'immagine di sinistra, ma per chiarezza chiameremo  $c_R(x_R, y, d_R)$  il valore del costo ottenuto tenendo come riferimento l'immagine di destra. Inoltre se  $d$  è il valore di disparità dell'immagine di sinistra,  $d_R$  è quello dell'immagine di destra. Questo genere di misure risulterà più complicata delle precedenti, in quanto prima di calcolare la funzione costo, si rende necessario calcolare prima la disparità sia per l'immagine di destra che quella di sinistra.

**Left Right Consistency (LRC)** *Left Right Consistency (LRC)* viene calcolato prendendo il valore disparità calcolato in una immagine, e proiettandolo nell'altra immagine. Se la differenza nei valori è inferiore a una determinata soglia, allora il pixel è occluso. Questo procedimento viene poi ripetuto anche al contrario, cioè proiettando la seconda immagine nella prima. Inoltre il costo di *LRC* viene calcolato come segue:

$$C_{LRC}(x, y) = |d_1 - D_R(x - d_1, y)| \quad (2.10)$$

con  $d_1 = \arg \min_d \{c(x, y, d)\}$  e  $D_R(x - d_1, y) = \arg \min_{d_R} \{c_R(x - d_1, y, d_R)\}$ .

**Left Right Difference (LRD)** *Left Right Difference (LRD)* è una misura proposta per la prima volta in [5]. Essa considera sia i due minimi della disparità di sinistra, ma anche il minimo di quella di destra. E' definita come

$$C_{LRD}(x, y) = \frac{c_2 - c_1}{|c_1 - \min\{c_R(x - d_1, y, d_R)\}|} \quad (2.11)$$

L'idea è che finestre di pixel corrispondenti dovrebbero risultare in valore di costo molto simili, e quindi piccoli valori al denominatore. Questa misura dovrebbe salvaguardare da due possibili errori:

- se il margine  $c_2 - c_1$  è grande, ma il pixel ha una corrispondenza errata, il denominatore sarà grande, e la confidenza bassa;
- se il margine è piccolo, la misura è possibile che sia ambigua, in questo caso se il denominatore è piccolo denota che è stata creata con successo una corrispondenza fra due pixel





# Capitolo 3

## Risultati

Tutte le misure effettuate vengono confrontate con una mappa di disparità *ground truth* che contiene i veri valori di disparità per ogni pixel. Questa mappa è sempre disponibile nei dataset utilizzati [7, 8], per tutte le immagini e per tutte le risoluzioni. La disparità *ground truth* viene calcolata utilizzando sempre una coppia di videocamere, ma aggiungendo anche uno o più proiettori che illuminano la scena con dei pattern specifici. Ogni telecamera utilizza quindi i pattern per determinare un codice univoco per ciascun pixel. Trovare quindi le corrispondenze si traduce banalmente nel verificare quali pixel delle due immagini hanno lo stesso codice [10].



Figura 3.1: Configurazione del proiettore e della coppia di videocamere per il calcolo della disparità *ground truth*; si può notare come il proiettore illumina la scena con dei pattern diversi per facilitare il compito delle videocamere.

Prima di continuare definiamo l'errore di disparità come

$$e_d = |d_{GT} - d| \quad (3.1)$$

Dove  $d_{GT}$  è la disparità *ground truth* e  $d$  sono i valori di disparità ottenuti con l'algoritmo *SGM*.

Per valutare la capacità delle misure di confidenza di predire dove una disparità è corretta, è stato creato uno script *MATLAB* che ordina prima l'errore di disparità in ordine crescente, e poi ordina l'errore per ogni misura in ordine decrescente rispetto la sua confidenza. Successivamente si calcola l'errore globale selezionando prima il 5%, in due modi:

1. nel primo metodo si misura la percentuale di pixel che ha un errore di disparità maggiore di uno, questo si fa perché ovviamente se l'errore è minore di uno, non vi è alcun pixel di differenza fra le due;
2. nel secondo si misura semplicemente l'errore medio.

Si ripete poi con il 10% e così via sino al 100%. Prima di confrontare le varie metriche si è però trovato il parametro ottimale per quelle con parametri variabili.

### 3.1 Variazione parametri

In questa sezione, prima di confrontare le misure, verificheremo quali parametri sono più adatti per quelle che dipendono da tali. Consideriamo quindi la *Local Curve*, *Peak Ratio Naive*, *Nonlinear Margin*, *Maximum Likelihood metric* e *Attainable Maximun Likelihood*.

**Variazione parametro  $\gamma$  per LC** Ora indagheremo quali effetti produce la variazione del parametro  $\gamma$ . Come prima cosa si è osservato per quale valore si ha una distribuzione più uniforme tra 0 e 1. Come si può vedere dalla figura 3.2, si ha una

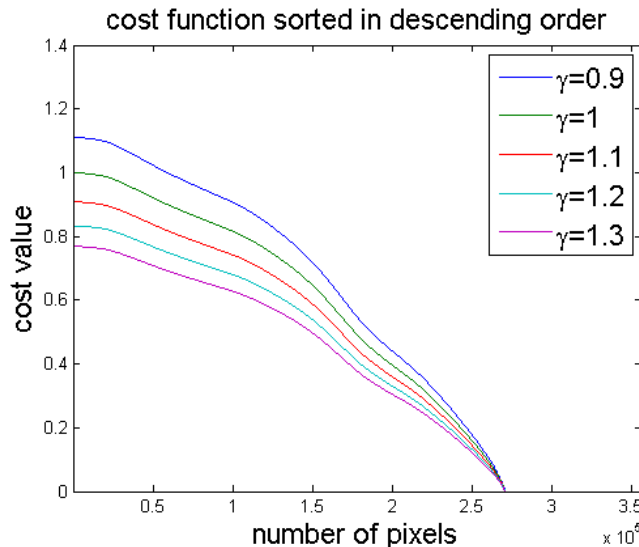


Figura 3.2: Distribuzioni diverse con valori di  $\gamma$  diversi.

migliore distribuzione per  $\gamma = 1$ . Per quanto riguarda l'errore medio invece, non si ottiene nessun cambiamento significativo sia con valori di  $\gamma$  molto alti, sia con valori molto bassi. Come valore finale si è quindi deciso per un  $\gamma$  pari a 1; facendo ciò non sarà anche necessario riscalarla la funzione costo, in quanto è già compresa tra zero e uno.

**Variazione parametro  $\epsilon$  per *PKRN*** Come prima, verifichiamo come si comporta la distribuzione della funzione al cambiare del parametro  $\epsilon$ . Si nota che per valori intorno a uno, la distribuzione non supera il massimo di uno, con valori minori di uno invece lo si supera. Per quanto riguarda gli errori rispetto la *ground truth*, si notano dei lievi miglioramenti per valori di  $\epsilon$  molto piccoli, intorno a un decimo; lo si può notare in figura 3.3. Si è notato inoltre che dopo il valore di 0,128 non si hanno cambiamenti. Si sceglie quindi  $\epsilon = 0.128$ . Notare che in questo modo è necessario riscalarla il valore della metrica, in quanto il suo massimo è abbondantemente sopra l'uno; per farlo è sufficiente dividere ogni singolo costo per il costo massimo.

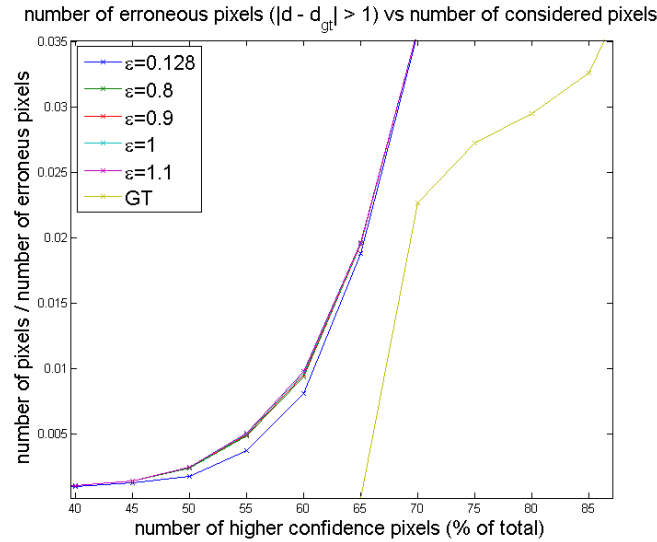


Figura 3.3: Dettaglio della curva dell'errore della metrica *PKRN*, notare che con  $\epsilon$  più piccolo si hanno dei lievi ma visibili miglioramenti; in giallo il valore di *ground truth*

**Variazione parametro  $\sigma$  per *NLM*** Ripetiamo ancora una volta il procedimento, i risultati sono pressoché simili al *LC*, cioè grosse variazioni di distribuzione e trascurabili variazioni di errore per differenti valori di  $\sigma$ . Dopo qualche tentativo con diversi parametri, si arriva alla conclusione che i risultati migliori si ottengono con  $\sigma = 0,85$ . Si fa notare però, che con valori di  $\sigma$  molto piccoli, l'errore può peggiorare di molto, mentre con valori molto grandi l'errore rimane pressoché inalterato.

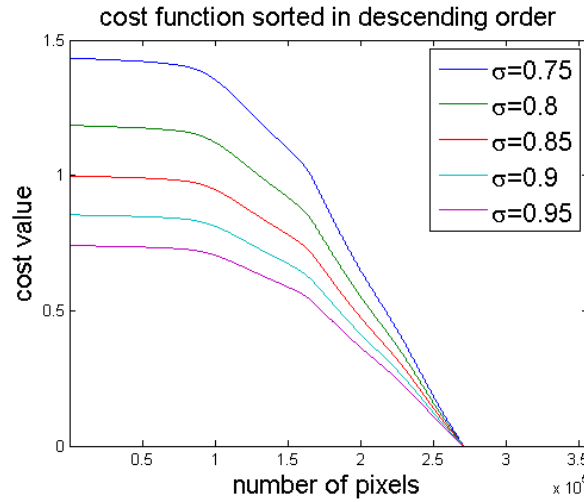


Figura 3.4: Diversi valori di distribuzione per diversi valori di  $\sigma$ .

**Variazione parametro  $\sigma$  per MLM** A differenza delle altre misure, per essere utilizzata al meglio la si deve per forza riscaldare. Infatti i valori che permetterebbero un costo compreso tra zero e uno, creerebbero grandi errori nelle curve. Si sceglie quindi un valore di  $\sigma$  pari a 0,3 per garantire una migliore distribuzione e il minor errore possibile.

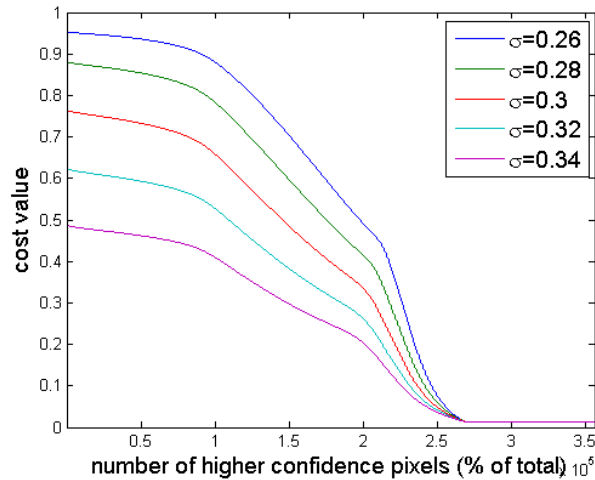


Figura 3.5: Diversi valori di distribuzione per diversi valori di  $\sigma$ .

**Variazione parametro  $\sigma$  per AML** Il suo comportamento è molto simile a MLM, i migliori risultati si ottengono con  $\sigma$  del valore di 0,4.

## 3.2 Confronto delle misure

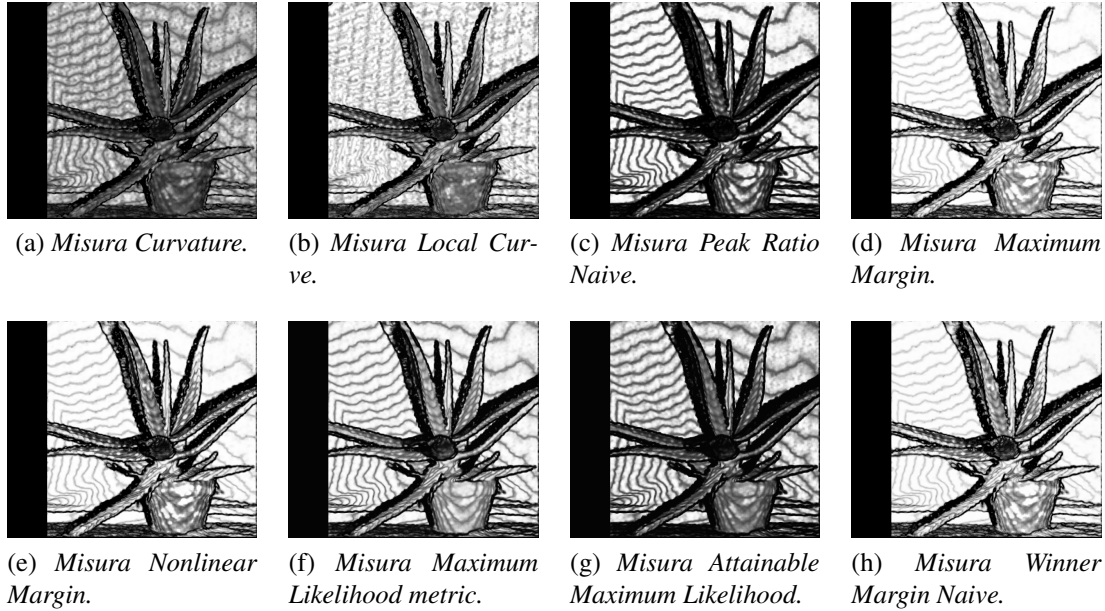


Figura 3.6: Diverse misure di confidenza.

Cominciamo dal dire cosa aspettarci dai due confronti descritti prima. Per il primo grafico ci aspettiamo di trovare una curva che resta a zero per una determinata percentuale di confidenze, e che poi tende a crescere per le successive. Non è possibile dire a priori l'andamento della curva, si può solo dire che tenderà a crescere.

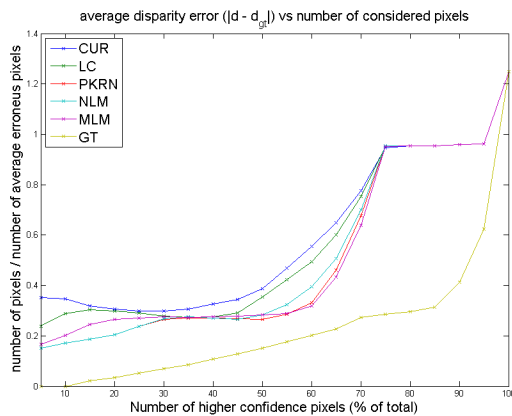
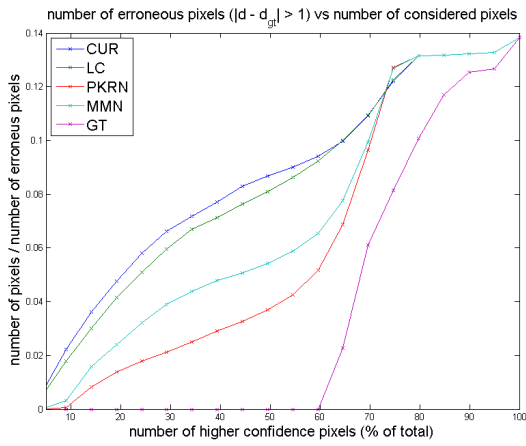


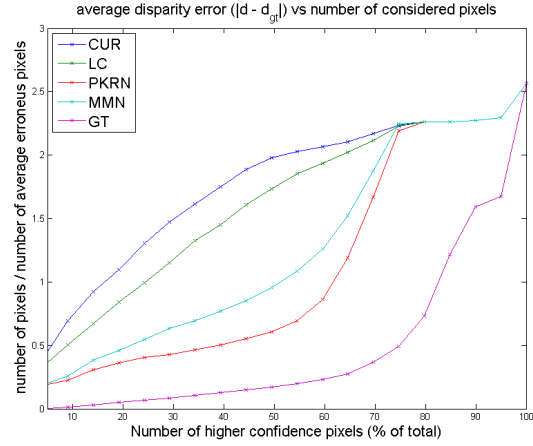
Figura 3.7: Errore di disparità medio nella figura *Aloe*.

Per il secondo confronto ci aspetteremo che l'errore di riferimento sia monotono crescente, mentre le misure possono assumere andamenti più casuali, al patto che abbiano errore sempre maggiore di quello di riferimento. Ovviamente la misura migliore sarà quella con la curva il più possibile vicino alla curva calcolata col *ground truth*. Passando quindi al confronto, si nota che le diverse metriche si comportano in maniera differente a seconda dell'immagine. Nel complesso però, le due che sembrano avere risultati migliori sono la *MLM* e *AML*. Questo è chiaramente visibile nei grafici riportati in figura 3.8. Questo è il risultato che differenzia di più tutte le misure; questo vuol dire che in certe immagini le misure si equivalgono molto, mentre in

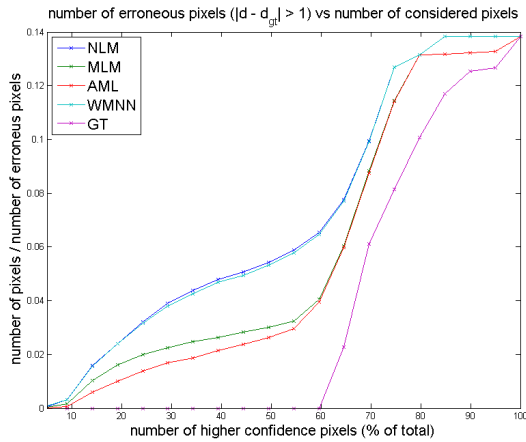
altre sono molto diverse. Non succede mai però che *MLM* e *AML* siano nettamente peggiori, succede invece che a volte una delle due sia meglio di un'altra e viceversa. Altro caso, è quando i grafici si incrociano, questo vuol dire che per una certa percentuale di confidenze è meglio una, mentre poi è meglio un'altra. Questo succede ad esempio nella figura 3.7, dove la metrica *NonLinear Margin* è la migliore di tutte per quasi il 40% dei pixel considerati, venendo poi superata, ancora una volta, da *MLM* e *PKRN*. Come previsto, anche la metrica *PKRN* ottiene buoni risultati, superando tutte soprattutto nella prima percentuale di pixel considerati.



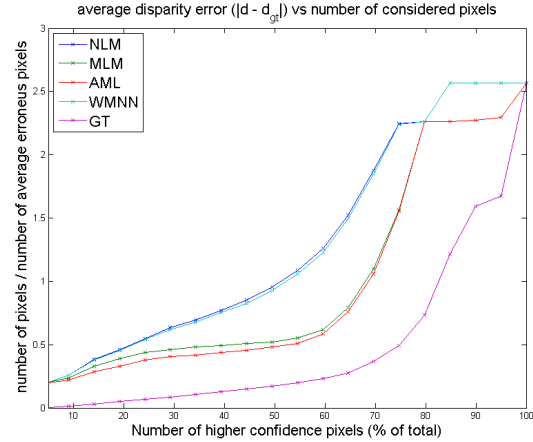
(a) Numero di pixel con errore di disparità maggiore di uno.



(b) Errore di disparità medio.



(c) Numero di pixel con errore di disparità maggiore di uno.



(d) Errore di disparità medio.

Figura 3.8: Grafici dei risultati utilizzando l'immagine *Bowling2* dal dataset *Middlebury*

Per quanto riguarda le misure del tipo consistenza fra disparità di destra e sinistra, la migliore delle due sembra essere *LRD*. Come verificato in [5], questa misura è migliore

di *LRC* in praticamente tutte le immagini considerate e per quasi tutte le percentuali di pixel. Entrambe comunque si comportano molto bene anche rispetto le misure descritte nel capitolo 2; infatti la curva che indica il numero di pixel con errore di disparità maggiore di uno, rimane piatta fino a circa il 50% dei pixel considerati (il *ground truth* arriva al 65%) mentre anche nel migliore dei casi, le altre misure non riescono a superare il 30%.

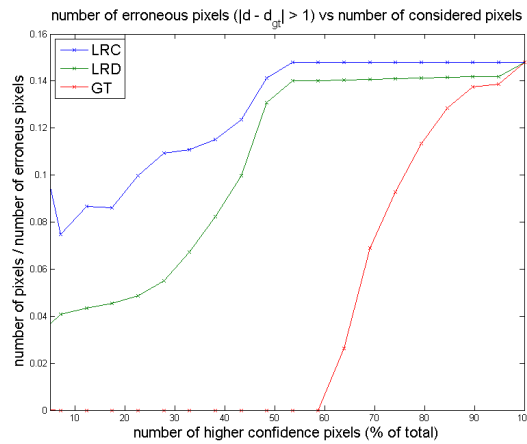


Figura 3.9: Misura *LRD* contro *LRC*.





# Capitolo 4

## Combinazione di misure

Per combinazione di misure, si intende il combinarne più insieme al fine di migliorarne i risultati. Considerando le misure di confidenza come probabilità, la cosa più semplice da fare sarebbe quella di dire che, essendo indipendenti, la loro combinazione non è altro che il loro prodotto. In realtà però, non è del tutto corretto definirle indipendenti, in quanto tutte dipendono dalla stessa “matrice dei costi”, calcolata con il medesimo algoritmo (in questo caso *SGM*). In questa tesi però non ne terremo conto, calcolando la combinazione di misure solo come semplice moltiplicazione di alcune di esse. Come combinazione sono state usate:

- combinazione di *AML* e *MLM*  $C_{comb1} = C_{AML} \cdot C_{MLM}$ ;
- combinazione delle tre migliori  $C_{comb2} = C_{AML} \cdot C_{MLM} \cdot C_{PKRN}$ ;
- combinazione fra *NLM* e *MLM*, infatti la metrica *NLM* è risultata competitiva in certi dataset per circa il primo 40% dei pixel, per poi essere superata da *MLM*  $C_{comb3} = C_{NLM} \cdot C_{MLM}$ .

Ovviamente prima di moltiplicarle, bisogna verificare che la loro distribuzione sia compresa tra zero e uno.

### 4.1 Risultati

La migliore combinazione risulta essere la prima, poi la seconda e infine la terza. La prima combinazione riesce sempre ad essere migliore di *MLM*, mentre solo a volte migliore di *AML*. La seconda migliora, e non di poco, la metrica *PKRN*, mentre la terza è peggiore delle singole misure per i primi 50% di pixel, ma in quelli successivi risulta vincente. Nel complesso quindi, questo genere di combinazioni, può riuscire a migliorare i risultati di qualcosa, ma un uso sbagliato può riuscire a peggiorarli di molto.

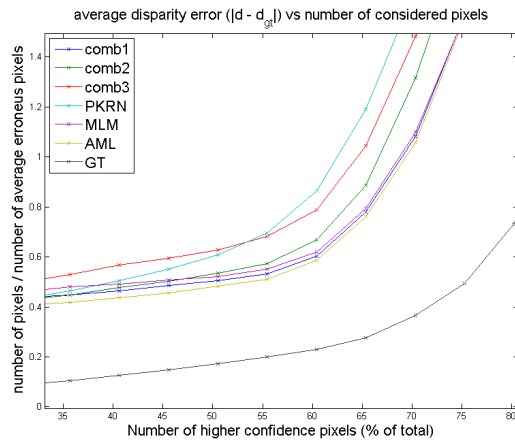


Figura 4.1: Dettaglio dell'errore medio per la combinazione di diverse misure, in questo caso la migliore resta comunque *AML*, per poi essere raggiunta dalla sua combinazione con *MLM*.

Per riuscire a migliorare questi risultati, si potrebbe pensare a combinazioni più complicate, come utilizzare un approccio di tipo *machine learning*, utilizzando *random tree ensembles* descritto in [11].

# Appendice A

## Codice MATLAB utilizzato

In questa appendice viene riportato solo il codice *MATLAB* che calcola le mappe di confidenza con le varie tecniche descritte nel paragrafo 2 e nel paragrafo 4; si riporta inoltre il codice utilizzato per analizzare i risultati ottenuti.

### A.1 compute\_confidence.m

Questo script computa la mappa di disparità per *CUR*, *LC*, *PKRN*, *MMN*, *NLM*, *MLM*, *AML* e *WMNN*. Calcola inoltre la combinazione delle confidenze.

```
1 % This script compute confidence with different metrics
2
3 % @author: Giulio Marin (giulio.marin@me.com), Nicola Dal Lago
4 % @date: 25/08/2014
5 % version: 1.0
6
7
8 %% clear workspace
9 clear; close all; clc;
10
11 dataset = 'Bowling2'; %it must be 'Aloe', 'Bowling2', 'Flowerpots'
12
13 rows = 555;
14 if(strcmp(dataset, 'Aloe'))
15     cols = 641;
16 elseif(strcmp(dataset, 'Bowling2'))
17     cols = 665;
18 elseif(strcmp(dataset, 'Flowerpots'))
19     cols = 656;
20 end
21
22 load(['.././../C/data/Images/Middlebury/' dataset '/SGM/cost.mat'])
23
24 % Smallest costs and indexes
25 [c1, I1] = min(C,[],3);
26
27 % Second smallest costs and indexes
28 c2 = 32767*ones(size(c1));
29 I2 = ones(size(c1));
30 for d = 1:diff(disparity)
31     index = (squeeze(C(:, :, d)) >= c1);
32     index = index & (squeeze(C(:, :, d)) < c2);
```

```

33     index = index & abs(I1 - d) > 1;
34     if any(index(:))
35         tmp = squeeze(C(:, :, d));
36         c2(index) = tmp(index);
37         I2(index) = d;
38     end
39 end
40
41
42 %% Curvature (CUR) and Local Curve (LC)
43 Im = I1 - 1; Im(Im == 0) = 1;
44 Ip = I1 + 1; Ip(Ip == 81) = 80;
45
46 Cm = zeros(size(c1));
47 Cp = zeros(size(c1));
48
49 for r=1 : rows
50     for c=1 : cols
51         Cm(r,c) = C(r,c,Im(r,c));
52         Cp(r,c) = C(r,c,Ip(r,c));
53     end
54 end
55
56 % Curvature (CUR)
57 C_CUR = (-2*c1 + Cm + Cp) / 2;
58 figure; imshow(C_CUR); title('Curvature')
59
60 % Local Curve (LC)
61 gamma = 1;
62
63 C_LC = (max(Cm,Cp)-c1) ./ gamma;
64 figure; imshow(C_LC); title('Local Curve')
65
66
67 %% Peak Ratio Naive (PKRN)
68 epsilon = 0.128;
69
70 C_PKRN = (c2+epsilon) ./ (c1+epsilon) - 1;
71 C_PKRN = C_PKRN ./ max(C_PKRN(:));
72 figure; imshow(C_PKRN); title('Peak Ratio Naive')
73
74
75 %% Maximum Margin (MMN)
76 C_MMN = c2 - c1;
77 figure; imshow(C_MMN); title('Maximum Margin')
78
79
80 %% Nonlinear Margin (NLM)
81 sigma_NLM = 0.85;
82
83 C_NLM = exp((c2 - c1) ./ (2*sigma_NLM^2)) - 1;
84 figure; imshow(C_NLM); title('Nonlinear Margin')
85
86
87 %% Maximum Likelihood metric (MLM)
88 sigma_MLM = 0.3;
89
90 sum = 0;
91 for d = 1:diff(disparity)
92     sum = sum + exp(-squeeze(C(:, :, d)) ./ (2*sigma_MLM^2));
93 end
94
95 C_MLM = exp(-c1 ./ (2*sigma_MLM^2)) ./ sum;
96 C_MLM = C_MLM ./ max(C_MLM(:));
97 figure; imshow(C_MLM); title('Maximum Likelihood Metric')

```

```

98
99
100 %% Attainable Maximun Likelihood (AML)
101 sigma_AML = 0.4;
102
103 sum = 0;
104 for d = 1 : diff(disparity)
105     sum = sum + exp(-(squeeze(C(:, :, d)) - c1) ./ (2 * sigma_AML ^ 2));
106 end
107
108 C_AML = 1 ./ sum;
109 C_AML = C_AML ./ max(C_AML(:));
110 figure; imshow(C_AML); title('Attainable Maximun Likelihood')
111
112
113 %% Winner Margin Naive (WMNN)
114 sum = 0;
115 for d = 1 : diff(disparity)
116     sum = sum + squeeze(C(:, :, d));
117 end
118
119 C_WMNN = (c2 - c1) ./ sum;
120 C_WMNN = C_WMNN ./ max(C_WMNN(:));
121 figure; imshow(C_WMNN); title('Winner Margin Naive')
122
123
124 %% Save confidence
125
126 save(['./save_confidence/' dataset '/confidences.mat'], 'C_CUR', 'C_LC', 'C_PKRN', '
    C_MMN', 'C_NLM', 'C_MLM', 'C_AML', 'C_WMNN');
127
128 imwrite(C_CUR, ['./save_confidence/' dataset '/CUR.png'], 'png');
129 imwrite(C_LC, ['./save_confidence/' dataset '/LC.png'], 'png');
130 imwrite(C_PKRN, ['./save_confidence/' dataset '/PKRN.png'], 'png');
131 imwrite(C_MMN, ['./save_confidence/' dataset '/MMN.png'], 'png');
132 imwrite(C_NLM, ['./save_confidence/' dataset '/NLM.png'], 'png');
133 imwrite(C_MLM, ['./save_confidence/' dataset '/MLM.png'], 'png');
134 imwrite(C_AML, ['./save_confidence/' dataset '/AML.png'], 'png');
135 imwrite(C_WMNN, ['./save_confidence/' dataset '/WMNN.png'], 'png');
136
137
138 %% Combination one
139 C_AML = C_AML ./ max(C_AML(:));
140 C_MLM = C_MLM ./ max(C_MLM(:));
141
142 C_comb1 = C_AML .* C_MLM;
143 figure; imshow(C_comb1); title('Combination C_{AML} \cdot C_{MLM}')
144
145
146 %% Combination two
147 C_PKRN = C_PKRN ./ max(C_PKRN(:));
148
149 C_comb2 = C_AML .* C_MLM .* C_PKRN;
150 figure; imshow(C_comb2); title('Combination C_{AML} \cdot C_{MLM} \cdot C_{PKRN}')
151
152
153 %% Combination three
154 C_NLM = C_NLM ./ max(C_NLM(:));
155
156 C_comb3 = C_NLM .* C_MLM;
157 figure; imshow(C_comb3); title('Combination C_{NLM} \cdot C_{MLM}')
158
159
160 %% save combination
161 save(['./save_confidence/' dataset '/confidences_combination.mat'], 'C_comb1', '

```

```

    C_comb2', 'C_comb3');
162
163 imwrite(C_comb1, ['./save_confidence/' dataset '/comb1.png'], 'png');
164 imwrite(C_comb2, ['./save_confidence/' dataset '/comb2.png'], 'png');
165 imwrite(C_comb3, ['./save_confidence/' dataset '/comb3.png'], 'png');

```

## A.2 left\_right\_confidence.m

```

1 % This script compute confidence with left and right cost functions
2
3 % @author: Nicola Dal Lago
4 % @date: 15/09/2014
5 % @version: 1.0
6
7
8 %% clear workspace
9 clear; close all; clc;
10
11 dataset = 'Bowling2'; %it must be 'Aloe', 'Bowling2', 'Flowerpots'
12
13 path_SGM_disparity = ['./../C/data/Images/Middlebury/' dataset '/SGM/
    disparity_sgm.dat'];
14 path_SGM_right_disparity = ['./../C/data/Images/Middlebury/' dataset '/SGM/
    disparity_sgm.dat_right.dat'];
15 path_SGM_occluded_pixels = ['./../C/data/Images/Middlebury/' dataset '/SGM/
    disparity_sgm.png'];
16 path_SGM_occluded_pixels_right = ['./../C/data/Images/Middlebury/' dataset '/SGM/
    disparity_sgm.png_right.png'];
17
18 rows = 555;
19 if(strcmp(dataset, 'Aloe'))
20     cols = 641;
21 elseif(strcmp(dataset, 'Bowling2'))
22     cols = 665;
23 elseif(strcmp(dataset, 'Flowerpots'))
24     cols = 656;
25 end
26
27 load(['./../C/data/Images/Middlebury/' dataset '/SGM/cost.mat'])
28 load(['./../C/data/Images/Middlebury/' dataset '/SGM/cost_right.mat'])
29
30 % load occluded pixels' maps
31 tmp = double(imread(path_SGM_occluded_pixels));
32 SGM_occluded_matrix = tmp(:, :, 3); % r,g,b 255 means pixel occluded
33 tmp = double(imread(path_SGM_occluded_pixels_right));
34 SGM_occluded_matrix_right = tmp(:, :, 3); %r,g,b
35
36 % Smallest costs and indexes
37 [c1, I1] = min(C, [], 3);
38 [c1_right, I1_right] = min(C_right, [], 3);
39
40 % Second smallest costs and indexes
41 c2 = 32767 * ones(size(c1));
42 I2 = ones(size(c1));
43 for d = 1 : diff(disparity)
44     index = (squeeze(C(:, :, d)) >= c1);
45     index = index & (squeeze(C(:, :, d)) < c2);
46     index = index & abs(I1 - d) > 1;
47     if any(index(:))
48         tmp = squeeze(C(:, :, d));
49         c2(index) = tmp(index);

```

```

50     I2(index) = d;
51 end
52 end
53
54 % load SGM disparity
55 id = fopen(path_SGM_disparity);
56 D_SGM_line = fread(id, rows * cols, 'float');
57 fclose(id);
58
59 D_SGM = zeros(rows, cols);
60 for x = 1 : 1 : rows
61     for y = 1 : 1 : cols
62         current_position = ((x - 1) * cols) + y;
63         D_SGM(x, y) = D_SGM_line(current_position);
64     end
65 end
66
67
68 %% Left Right Consistency
69 C_LRC = zeros(rows, cols);
70
71 for x = 1 : 1 : rows
72     for y = 1 : 1 : cols
73         if (SGM_occluded_matrix(x, y) == 255) || (SGM_occluded_matrix_right(x, y) ==
74             255)
75             %C_LRC(x, y) = 0; % occluded pixel
76         else
77             right_position = round(x - I1(x, y));
78             if right_position < 1
79                 right_position = 1;
80             end
81             C_LRC(x, y) = abs(I1(x, y) - I1_right(right_position, y));
82         end
83     end
84 end
85
86 C_LRC = C_LRC ./ max(C_LRC(:));
87 for x = 1 : 1 : rows
88     for y = 1 : 1 : cols
89         if (SGM_occluded_matrix(x, y) == 255) || (SGM_occluded_matrix_right(x, y) ==
90             255)
91             C_LRC(x, y) = 0; % occluded pixel
92         else
93             C_LRC(x, y) = 1 - C_LRC(x, y);
94         end
95     end
96 end
97 figure; imshow(C_LRC); title('Left Right Consistency')
98
99
100 %% left Right Difference
101 C_LRD = zeros(rows, cols);
102
103 for x = 1 : 1 : rows
104     for y = 1 : 1 : cols
105         if (SGM_occluded_matrix(x, y) == 255) || (SGM_occluded_matrix_right(x, y) ==
106             255)
107             C_LRD(x, y) = 0; % occluded pixel
108         else
109             right_position = round(x - I1(x, y));
110             if right_position < 1
111                 right_position = 1;

```

```

112         end
113         C_LRD(x, y) = (c2(x, y) - c1(x, y)) / abs(c1(x, y) - c1_right(
            right_position, y));
114
115     end
116 end
117 end
118
119
120 for x = 1 : 1 : rows
121     for y = 1 : 1 : cols
122         if C_LRD(x, y) == inf
123             C_LRD(x, y) = max(C_LRD(isfinite(C_LRD(:))));
124         end
125     end
126 end
127
128 figure; imshow(C_LRD); title('Left Right Difference')
129
130
131 %% save
132 save(['../save_confidence/' dataset '/confidences_left_right.mat'], 'C_LRC', 'C_LRD');
133 imwrite(C_LRC, ['../save_confidence/' dataset '/LRC.png'], 'png');
134 imwrite(C_LRD, ['../save_confidence/' dataset '/LRD.png'], 'png');

```

## A.3 result.m

```

1 % This script compare 5 different cost function with ground truth
2 % disparity. Also excludes from the comparison occluded pixels.
3
4 % @author: Nicola Dal Lago
5 % @date: 09/09/2014
6 % @version: 2.0
7
8
9 %% clear workspace
10 clear; close all; clc;
11
12 % parameters
13 dataset = 'Bowling2'; % it must be 'Aloe', 'Bowling2', 'Flowerpots'
14
15 path_confidence = ['../stereo/confidence/save_confidence/' dataset '/confidences.mat'
16 ];
17 path_ground_truth = ['../C/data/Images/Middlebury/' dataset '/displ.png'];
18 path_SGM_disparity = ['../C/data/Images/Middlebury/' dataset '/SGM/disparity_sgm.
19 dat'];
20 path_SGM_occluded_pixels = ['../C/data/Images/Middlebury/' dataset '/SGM/
21 disparity_sgm.png'];
22 path_confidence_combination = ['../stereo/confidence/save_confidence/' dataset '/
23 confidences_combination.mat'];
24
25 % different images have different size
26 rows = 555;
27 if(strcmp(dataset, 'Aloe'))
28     cols = 641;
29 elseif(strcmp(dataset, 'Bowling2'))
30     cols = 665;
31 elseif(strcmp(dataset, 'Flowerpots'))
32     cols = 656;
33 end
34
35

```



```

31 number_of_costs = 4;
32 cost_functions = {'NLM' 'MLM' 'AML' 'WMNN'};
33
34 % load confidence
35 cost = zeros(rows, cols, number_of_costs);
36 for i = 1 : 1 : number_of_costs
37     cost(:, :, i) = cell2mat(struct2cell(load(path_confidence, ['C_' cell2mat(
38         cost_functions(i))])));
39 end
40 % load ground truth disparity and SGM disparity
41 D_GT = double(imread(path_ground_truth));
42 D_GT = D_GT ./ 2; % cause the half size of the image
43
44 tmp = double(imread(path_SGM_occluded_pixels));
45 SGM_occluded_matrix = tmp(:, :, 3); % r,g,b      255 means pixel occluded
46
47 id = fopen(path_SGM_disparity);
48 D_SGM_line = fread(id, rows * cols, 'float');
49 fclose(id);
50
51 D_SGM = zeros(rows, cols);
52 for x = 1 : 1 : rows
53     for y = 1 : 1 : cols
54         current_position = ((x - 1) * cols) + y;
55         D_SGM(x, y) = D_SGM_line(current_position);
56     end
57 end
58
59 clearvars tmp D_SGM_line id % save memory
60
61
62 %% compute error vector
63 error_vector = zeros(rows * cols, 2); % error column, occluded column (0 if occluded,
64     1 if not occlude)
65
66 for x = 1 : 1 : rows
67     for y = 1 : 1 : cols
68         current_position = ((x - 1) * cols) + y;
69         error_vector(current_position, 1) = abs(D_GT(x, y) - D_SGM(x, y));
70
71         if (SGM_occluded_matrix(x, y) == 255) || (D_GT(x, y) == 0) % occluded pixel
72             error_vector(current_position, 2) = 0;
73         else % not occluded pixel
74             error_vector(current_position, 2) = 1;
75         end
76     end
77 end
78
79 %% order pixels according to their confidence in decreasing order
80 confidence_sorted = zeros(rows * cols, 3, 5); % (confidence column, error column,
81     occluded column, number of cost function)
82
83 for i = 1 : 1 : number_of_costs
84     for x = 1 : 1 : rows
85         for y = 1 : 1 : cols
86
87             current_position = ((x - 1) * cols) + y;
88             confidence_sorted(current_position, 1, i) = cost(x, y, i);
89
90         end
91     end
92

```

```

93     confidence_sorted(:, 2, i) = error_vector(:, 1); % save error
94     confidence_sorted(:, 3, i) = error_vector(:, 2); % save occluded column
95
96     % sort by first column
97     tmp = confidence_sorted(:, :, i);
98     confidence_sorted(:, :, i) = - sortrows(- tmp, 1);
99 end
100
101 clearvars cost % save memory
102
103
104 %% order the error vector in decreasing order
105 error_vector = sortrows(error_vector, 1);
106
107
108 %% parameter of plots
109 step = 20; % if step = 20 increasing comparison 5% at each time
110
111
112 %% number of erroneous pixels (|d_gt - d| > 1) vs number of considered pixels
113 error_curves = zeros(step, number_of_costs + 1);
114
115 for s = 1 : 1 : step
116
117     percent_of_pixels = 100 - ((step - s) * (100 / step)); % 5 : 10 : 15 ... 95 : 100
118     number_of_considered_pixels = round(((rows * cols) / 100) * percent_of_pixels);
119
120     for i = 1 : 1 : number_of_costs
121         number_of_erroneus_pixels = 0; % with error bigger than 1
122         number_of_occluded_pixels = 0;
123
124         for j = 1 : 1 : number_of_considered_pixels % sum
125
126             if confidence_sorted(j, 3, i) == 0
127                 number_of_occluded_pixels = number_of_occluded_pixels + 1;
128             elseif confidence_sorted(j, 2, i) > 1
129                 number_of_erroneus_pixels = number_of_erroneus_pixels + 1; % pixel
130                 with bigger than 1 error
131             end
132
133         end
134
135         error_curves(s, i) = number_of_erroneus_pixels / (number_of_considered_pixels
136             - number_of_occluded_pixels);
137
138     end
139
140     number_of_erroneus_pixels = 0;
141     number_of_occluded_pixels = 0;
142     for j = 1 : 1 : number_of_considered_pixels % sum
143
144         if error_vector(j, 2) == 0
145             number_of_occluded_pixels = number_of_occluded_pixels + 1;
146         elseif error_vector(j, 1) > 1
147             number_of_erroneus_pixels = number_of_erroneus_pixels + 1;
148         end
149
150     end
151
152     error_curves(s, number_of_costs + 1) = number_of_erroneus_pixels / (
153         number_of_considered_pixels - number_of_occluded_pixels);
154
155 end
156
157 %% average disparity error (|d - d_gt|) vs number of considered pixels
158 average_error_curves = zeros(step, number_of_costs + 1);
159

```

```

155 for s = 1 : 1 : step
156
157     percent_of_pixels = 100 - ((step - s) * (100 / step)); % 5 : 10 : 15 ... 95 : 100
158     number_of_considered_pixels = round(((rows * cols) / 100) * percent_of_pixels);
159
160     for i = 1 : 1 : number_of_costs
161         number_of_occluded_pixels = 0;
162         to_sum = 0;
163
164         for j = 1 : 1 : number_of_considered_pixels
165
166             if confidence_sorted(j, 3, i) == 0
167                 number_of_occluded_pixels = number_of_occluded_pixels + 1;
168             else
169                 to_sum = to_sum + confidence_sorted(j, 2, i);
170             end
171
172         end
173
174         average_error_curves(s, i) = to_sum / (number_of_considered_pixels -
            number_of_occluded_pixels);
175     end
176
177     number_of_occluded_pixels = 0;
178     to_sum = 0;
179
180     for j = 1 : 1 : number_of_considered_pixels
181         if error_vector(j, 2) == 0
182             number_of_occluded_pixels = number_of_occluded_pixels + 1;
183         else
184             to_sum = to_sum + error_vector(j, 1);
185         end
186     end
187
188     average_error_curves(s, number_of_costs + 1) = to_sum / (
        number_of_considered_pixels - number_of_occluded_pixels);
189 end
190
191 %% plot
192 legend_string = cell(number_of_costs + 3, 1);
193 for i = 1 : 1 : number_of_costs
194     legend_string(i) = cost_functions(i);
195 end
196 legend_string(number_of_costs + 1) = {'GT'};
197 legend_string(number_of_costs + 2) = {'Location'};
198 legend_string(number_of_costs + 3) = {'NorthWest'};
199
200 font_size = 16;
201
202 figure('units','normalized','outerposition',[0 0 2/3 1])
203 plot(linspace(number_of_costs, 100, step), error_curves, '-x')
204 h_title = title('number of erroneous pixels ( $d - d_{gt} > 1$ ) vs number of
205     considered pixels');
206 set(h_title, 'FontSize', font_size);
207 h_xlabel = xlabel('number of higher confidence pixels (% of total)');
208 set(h_xlabel, 'FontSize', font_size);
209 h_ylabel = ylabel('number of pixels / number of erroneous pixels');
210 set(h_ylabel, 'FontSize', font_size);
211 h_legend = legend(legend_string{:});
212 set(h_legend, 'FontSize', font_size);
213 xlim([5 100])
214
215 figure('units','normalized','outerposition',[0 0 2/3 1])
216 plot(linspace(number_of_costs, 100, step), average_error_curves, '-x')

```

```
217 h_title = title('average disparity error ( $|d - d_{gt}|$ ) vs number of considered  
pixels');  
218 set(h_title, 'FontSize', font_size);  
219 h_xlabel = xlabel('Number of higher confidence pixels (% of total)');  
220 set(h_xlabel, 'FontSize', font_size);  
221 h_ylabel = ylabel('number of pixels / number of average erroneous pixels');  
222 set(h_ylabel, 'FontSize', font_size);  
223 h_legend = legend(legend_string{:});  
224 set(h_legend, 'FontSize', font_size);  
225 xlim([5 100])
```

# Bibliografia

- [1] A. Fusiello, *Visione Computazionale, appunti delle lezioni*, <http://profs.sci.univr.it/~fusiello>, 2008. 2, 3
- [2] D. Pfeiffer, S. Gehrig, N. Schneider, *Exploiting the Power of Stereo Confidences*, IEEE Conference on Computer Vision and Pattern Recognition, 2013. 2, 8
- [3] D. Scharstein, R. Szeliski, *A taxonomy and evaluation of dense two-frame stereo correspondence algorithms*, IJCV, 47(1-3):7–42, 2002. 4
- [4] H. Hirschmüller, *Accurate and efficient stereo processing by semi-global matching and mutual information*, IEEE CVPR, pages 807–814, San Diego, USA, June 2005. 4
- [5] X. Hu, P. Mordohai, *A Quantitative Evaluation of Confidence Measures for Stereo Vision*, IEEE Transactions on Pattern Analysis and Machine Intelligence, 2012. 10, 17
- [6] X. Hu, P. Mordohai, *Evaluation of Stereo Confidence Indoors and Outdoors*, IEEE Conference on Computer Vision and Pattern Recognition (CVPR), San Francisco, USA, June 2010. 7, 9
- [7] D. Scharstein, C. Pal, *Learning conditional random fields for stereo*, IEEE Computer Society Conference on Computer Vision and Pattern Recognition (CVPR 2007), Minneapolis, MN, June 2007. 7, 12
- [8] H. Hirschmüller, D. Scharstein, *Evaluation of cost functions for stereo matching*, IEEE Computer Society Conference on Computer Vision and Pattern Recognition (CVPR 2007), Minneapolis, MN, June 2007. 7, 12
- [9] G. Bradski, *The OpenCV Library*, <http://opencv.org/>, Dr. Dobb's Journal of Software Tools, 2000. 6
- [10] D. Scharstein, R. Szeliski, *High-Accuracy Stereo Depth Maps Using Structured Light*, Proc. CVPR, volume I, pages 195–202, 2003. 12
- [11] R. Haeusler, R. Nair, D. Kondermann, *Ensemble Learning for Confidence Measures in Stereo Vision*. 21